

$$-\lambda_{23}(V_z - u_z - \omega_y x) - \lambda_{24}\omega_x] + [V_z - u_z - \omega_y x](V_x - u_x) \frac{\partial \lambda_{33}}{\partial x} + \\ + \omega_x(V_x - u_x) \frac{\partial \lambda_{34}}{\partial x} + \rho S \left( \frac{du_0}{dt} \right)_z + \frac{\partial}{\partial t} Z_3 - \omega_x Y_3 \quad (26)$$

$$m_x = -\lambda_{24} \left[ \frac{\partial V_y}{\partial t} - \frac{\partial u_y}{\partial t} + x \frac{\partial \omega_z}{\partial t} - \omega_z(V_x - u_x) \right] - \lambda_{34} \left[ \frac{\partial V_z}{\partial t} - \frac{\partial u_z}{\partial t} - x \frac{\partial \omega_y}{\partial t} + \right. \\ \left. + \omega_y(V_x - u_x) \right] - \lambda_{44} \frac{\partial \omega_x}{\partial x} + (V_y - u_y + \omega_z x)(V_x - u_x) \frac{\partial \lambda_{24}}{\partial x} + \\ + (V_z - u_z - \omega_y x)(V_x - u_x) \frac{\partial \lambda_{34}}{\partial x} + \omega_x(V_x - u_x) \frac{\partial \lambda_{44}}{\partial x} + (V_y - u_y + \omega_z x) \times \\ \times [-\lambda_{23}(V_y - u_y + \omega_z x) - \lambda_{33}(V_z - u_z - \omega_y x) - \lambda_{34}\omega_x] - (V_z - u_z - \omega_y x) \times \\ \times [-\lambda_{22}(V_y - u_y + \omega_z x) - \lambda_{23}(V_z - u_z - \omega_y x) - \lambda_{24}\omega_x] + \\ + \left[ z^* x \rho S \frac{du}{dt} \right] + m_3 + V_y Z_3 + V_z Y_3 \quad (27)$$

Здесь  $V_x$ ,  $V_y$ ,  $V_z$  — скорость движения начала связанный системы координат;  $\omega_x$ ,  $\omega_y$ ,  $\omega_z$  — скорость вращения твердого тела;  $u_x$ ,  $u_y$ ,  $u_z$  — скорость внешнего потока в связанный системе;  $\lambda_{ij}(x)$  — присоединенные массы элементарного сечения с координатой в связанный системе координат;  $Y_3$ ,  $Z_3$ ,  $m_3$  — интегралы, связанные только с деформацией контура.

Результирующее воздействие жидкости на тело найдется из элементарных воздействий при помощи обычных правил сложения и переноса сил и моментов сил

$$R_y = \int_{x_1}^{x_2} Y dx, \quad R_z = \int_{x_1}^{x_2} Z dz \quad M = \int_{x_1}^{x_2} \{m_x + [x, jR_y + kR_z]\} dx \quad (28)$$

где  $x$  — вектор с координатами  $(x, 0, 0)$ . Интегрирование ведется по всей смоченной длине тела.

Если рассматривается движение твердого тела, то интегралы, связанные с деформацией каждого сечения относительно соответствующего слоя жидкости, будут пропорциональны  $(V_x - u_x)$  или при достаточно большой скорости поступательного движения пропорциональны просто  $V_x$  и выражениям, зависящим только от геометрии тела.

Поступило 19 II 1968

#### ЛИТЕРАТУРА

- Седов Л. И. Плоские задачи гидродинамики и аэромеханики. Изд. 2. М., «Наука», 1966.
- Кочин Н. Е., Кубель И. А., Розе Н. В. Теоретическая гидромеханика. Изд. 6, М., Физматгиз, 1963.

#### РЕЗУЛЬТАТЫ ИЗМЕРЕНИЯ ВЗАЙМНЫХ СПЕКТРОВ ТУРБУЛЕНТНЫХ ПУЛЬСАЦИЙ ДАВЛЕНИЯ

А. В. СМОЛЬЯКОВ, В. М. ТКАЧЕНКО

(Ленинград)

Приводятся результаты измерения продольного, поперечного и диагонального взаимных спектров и фазовой скорости для поля турбулентных пульсаций давления на стенке. Данные относятся к развитому пограничному слою с нулевым градиентом среднего давления. Измерения проводились при числах Рейнольдса  $0,35 \cdot 10^8$  и  $1,1 \cdot 10^8$  на экспериментальной установке, которая аналогична использованной Скучиком [1].

1. Статистические характеристики поля турбулентных давлений на уровне двухточечных моментов второго порядка можно получать измерением пространственно-временных корреляций. Однако вместе этого в последнее время часто изме-

прают взаимные спектры поля давлений. Опубликованы работы, посвященные измерениям взаимных спектров в различных условиях — от пограничного слоя на пластине [2] до приземного слоя атмосферы [3]. Интерес экспериментаторов к взаимному спектру объясняется тем, что при его измерениях можно заменить сложные и капризные блоки задержки времени более простыми фазовращающими устройствами. Кроме того, из всех статистических характеристик именно взаимный спектр регистрируется датчиками конечных размеров с наименьшими искажениями [4].

В то же время взаимный спектр, будучи связан с пространственно-временной корреляцией преобразованием Фурье, несет такую же информацию о случайному процессе, как и пространственно-временная корреляция. Если  $R(\xi, \tau) = \langle p(x, t)p(x + \xi, t + \tau) \rangle$  — пространственно-временная корреляция некоторого однородного по пространству  $x$  и стационарного во времени  $t$  случайного процесса  $p(x, t)$ , а  $P(\xi, \omega)$  — взаимный спектр этого процесса, то по определению

$$R(\xi, \tau) = \int_{-\infty}^{\infty} P(\xi, \omega) e^{i\omega\tau} d\omega,$$

$$P(\xi, \omega) = \frac{1}{2\pi} \int_{-\infty}^{\infty} R(\xi, \tau) e^{-i\omega\tau} d\tau \quad (1.1)$$

Здесь  $\omega = 2\pi f$  — круговая частота,  $f$  — частота,  $\tau$  — задержка времени,  $\xi = \{\xi_1, \xi_2\}$  — вектор пространственного разделения между двумя точками наблюдения на поверхности стенки.

Вследствие вещественности функции  $R(\xi, \tau)$  и отсутствия у нее четности по  $\tau$  (при произвольном  $\xi$ ) взаимный спектр, определяемый (1.1), будет комплексной функцией вещественных аргументов

$$P(\xi, \omega) = P_r(\xi, \omega) + iP_i(\xi, \omega) \quad (1.2)$$

В эксперименте могут быть отдельно измерены вещественная  $P_r(\xi, \omega)$  и мнимая  $P_i(\xi, \omega)$  части взаимного спектра. Для определения последней необходимо в одном из каналов измерительного тракта осуществить поворот фазы на  $1/2\pi$ . Обычно в эксперименте оказывается более удобным измерять безразмерный взаимный спектр

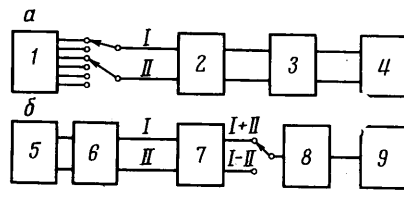
$$\gamma(\xi, \omega) = \frac{P(\xi, \omega)}{P(0, \omega)} = \gamma_r(\xi, \omega) + i\gamma_i(\xi, \omega) \quad (1.3)$$

в котором  $P(\xi, \omega)$  нормируется спектром мощности  $P(0, \omega)$ .

2. Ниже приводятся результаты измерения вещественной части безразмерного взаимного спектра турбулентных пульсаций давления  $\gamma_r(\xi, \omega)$ ; в дальнейшем она именуется для краткости просто взаимным спектром и индекс  $r$  в ней опускается. Были измерены продольный  $\gamma(\xi_1, 0, \omega)$ , поперечный  $\gamma(0, \xi_2, \omega)$  взаимные спектры, а также диагональный взаимный спектр  $\gamma(\xi_1, \xi_2, \omega)$  при  $\xi_1 = \xi_2$ , где  $\xi_1$  и  $\xi_2$  — проекции вектора  $\xi$  на направление, соответственно параллельное и перпендикулярное скорости натекающего потока. Измерения проводились в море на экспериментальной установке, которая представляла собой удлиненное тело вращения, всплывающее с большой глубины под действием одной только силы избыточной плавучести. При помощи такой установки оказалось возможным достичь высоких чисел Рейнольдса при низком уровне посторонних шумов. Приводим данные, характеризующие условия испытаний:

Скорость натекающего потока $U_1, \text{м/сек}$	20.3
Координата положения блока датчиков $x_1, \text{м}$	2.64, 8.19
Число Рейнольдса $U_1 x_1 / v$	$3.5 \cdot 10^7, 1.1 \cdot 10^8$
Толщина вытеснения $\delta^*$ , полученная из расчета, $\text{мм}$	5.15, 13.5

В качестве датчиков пульсаций давления использовались блоки, каждый из которых содержал шесть пьезокерамических (из цирконата бария) элементов цилиндрической формы с диаметром чувствительной поверхности 3  $\text{мм}$ . Элементы располагались в блоке вдоль прямой линии на равных расстояниях один от другого; между осями соседних элементов это расстояние было равно 7  $\text{мм}$ . Чувствительность каждого элемента составляла около 1  $\mu\text{в}\cdot\text{дина}^{-1}\cdot\text{см}^2$ . Блоки датчиков размещались заподлицо со стенкой экспериментальной установки в ее цилиндрической части, где градиент среднего давления можно было считать нулевым. Измерения поперечного и диагонального взаимных спектров проводились тем же блоком, что и измерения продольного, для чего блок разворачивался соответственно на углы в 90 и 45°.



Фиг. 1

На участке установившегося движения экспериментальной установки осуществлялась двухканальная запись на магнитную ленту сигналов, поступающих с датчиков пульсаций давления. Анализ полученной записи производился по схеме [5]. Блок-схемы измерительной аппаратуры приведены на фиг. 1, где  $a$  — запись; 1 — блок датчиков, 2 — предварительный усилитель, 3 — усилитель записи, 4 — магнитописец; 5 — анализ; 6 — воспроизведяющее устройство, 7 — усилитель воспроизведения, 7 — коррелятор DISA Electronic, 8 — анализатор типа 2105 Brüel & Kjøer, 9 — самописец типа 2305 Brüel & Kjøer; римскими I и II обозначены каналы.

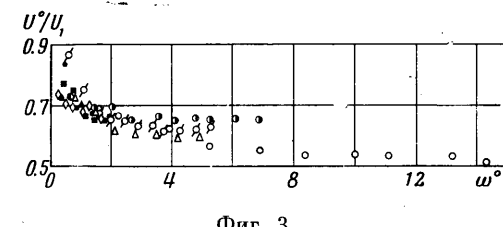
З. Результаты измерения представлены на фиг. 2—5 в безразмерном виде. В соответствии с гипотезой Коркosa о подобии [4] аргументом продольного взаимного спектра  $\gamma(\xi_1, \theta, \omega)$ , приведенного на фиг. 2, будет безразмерная комбинация  $f_1^0 = f\xi_1 / U^0$ . Здесь  $U^0$  — скорость распространения на расстояние  $\xi_1$  фазы колебания с частотой  $f$ , регистрируемого неподвижным (относительно стенки) наблюдателем. Соответственно величина  $U^0$  может быть названа фазовой скоростью<sup>1</sup>, так как она определяется соотношением

$$2\pi \frac{f\xi_1}{U^0} = \operatorname{arc} \operatorname{tg} \frac{\gamma_i}{\gamma_r} \quad (3.1)$$

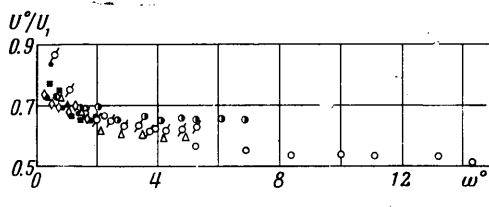
характеризующим фазу комплексного взаимного спектра.

Выражение (3.1) позволяет вычислить фазовую скорость  $U^0$  для данных частот  $f$  и пространственного разделения точек измерения  $\xi_1$ , если известны вещественная  $\gamma_r$  и мнимая  $\gamma_i$  части взаимного спектра. Поскольку в эксперименте измерялась лишь вещественная часть, фазовая скорость определялась из соотношения

$$2\pi \frac{f\xi_1}{U^0} = \operatorname{arc} \operatorname{tg} \infty = \pi \frac{n+1}{2} \quad (n = 1, 2, 3, \dots) \quad (3.2)$$

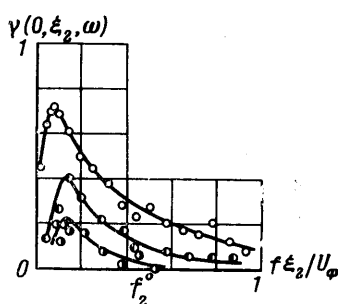


Фиг. 2

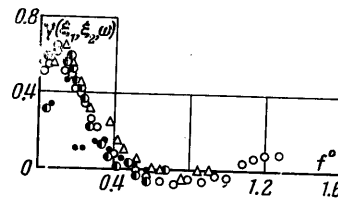


Фиг. 3

что соответствует частному случаю (3.1), когда  $\gamma_r = 0$ , а величина  $\gamma_i$  несущественна. После введения фазовой скорости экспериментальные точки, относящиеся к различным пространственным разделениям  $\xi_1$  и частотам  $f$ , хорошо укладываются на одну кривую, как это можно видеть на фиг. 2. То же можно сказать и о самой фазовой скорости  $U^0 / U_1$ , которая в зависимости от безразмерной круговой частоты  $\omega^0 = \omega\delta^* / U_1$  представлена на фиг. 3. Точки 1, 2, 3, 4, 5 на фиг. 2 и 3 соответствуют значениям  $\xi_1 / \delta^* = 0.51, 1.01, 1.52, 2.03, 2.54$  при  $\delta^* = 13.8 \text{ мм}$ , а



Фиг. 4



Фиг. 5

точки 6, 7, 8, 9 соответствуют значениям  $\xi_1 / \delta^* = 1.36, 2.72, 4.07, 6.80$  при  $\delta^* = 5.15 \text{ мм}$ . Измерения были выполнены при сильно различающихся значениях  $\xi_1 / \delta^*$ , поэтому результаты фиг. 3 подтверждают имеющиеся в литературе данные [4] о слабой зависимости фазовой скорости от  $\xi_1 / \delta^*$ .

<sup>1</sup> Этот термин представляется более отвечающим существу явления, чем термин «конвективная скорость», используемый Коркосом [4].

Использование фазовой скорости в качестве нормирующего масштаба, оказавшееся плодотворным в случае продольного взаимного спектра и, по-видимому, еще пригодным для диагонального спектра, теряет смысл для поперечного взаимного спектра, так как в этом случае величина и знак фазовой скорости становятся неопределенными. Тем не менее, в настоящее время как для диагонального, так и для поперечного взаимных спектров принято (в определенной степени условно) сохранять  $U^0$  в качестве характерного масштаба скорости. На фиг. 4 приведены результаты измерения поперечного взаимного спектра с величиной  $f_2^0 = f\xi_2 / U^0$  в качестве аргумента. Диагональный взаимный спектр на фиг. 5 построен в функции от аргумента  $f^0 = f|\xi| / U^0$  (обозначения точек на фиг. 4 и 5 те же, что и на фиг. 2 и 3). В обоих случаях величина  $U^0$  бралась равной ее значению для продольного взаимного спектра при тех же разделениях  $|\xi|$  и частотах  $f$ . Несовпадение на фиг. 4 кривых, относящихся к различным разделениям  $\xi_2$ , свидетельствует, по-видимому, о неудовлетворительности параметра  $f\xi_2 / U^0$  в данном случае. Кроме того, подобие диагонального взаимного спектра, которое можно видеть на фиг. 5, и отсутствие подобия у поперечного спектра заставляет поставить под сомнение выдвинутую Коркосом [4] гипотезу переноса, согласно которой должно быть

$$\gamma(\xi_1, \xi_2, \omega) = \gamma(\xi_1, 0, \omega)\gamma(0, \xi_2, \omega) \quad (3.3)$$

Поступило 13 II 1968

#### ЛИТЕРАТУРА

1. Skudryk E. J., Haddle G. P. Flow noise. In: Underwater acoustics, N. Y., Plenum Press, 1963. (Рус. перев.: Скучник Е., Хэддл Г. Шум обтекания. В сб.: «Подводная акустика», М., «Мир», 1965).
2. Bull M. K. Wall-pressure fluctuations associated with subsonic turbulent boundary layer flow. J. Fluid Mech., 1967, vol. 28, pt 4.
3. Corcos G. M. The resolution of turbulent pressures at the wall of a boundary layer. J. Sound and Vibration, 1967, vol. 6, No. 1.
4. Corcos G. M. The structure of the turbulent pressure field in boundary-layer flows. J. Fluid Mech., 1964, vol. 18, pt 3.
5. Морозов-Ростовский Г. П. Методика корреляционного анализа турбулентных пульсаций скорости в узкой полосе частот. Измерительная техника, 1967, № 5.

#### НЕКОТОРЫЕ ЗАКОНОМЕРНОСТИ ПУЛЬСАЦИОННОГО ДВИЖЕНИЯ ТВЕРДОЙ ЧАСТИЦЫ В ТУРБУЛЕНТНОМ ПОТОКЕ

З. Р. ГОРБИС, Ф. Е. СПОКОЙНЫЙ

(Одесса)

Рассматриваются закономерности поперечных пульсаций сферической частицы в турбулентном потоке. На основе полученных зависимостей проведена оценка влияния ряда факторов на интенсивность пульсаций скорости твердого компонента в дисперсных сквозных потоках.

#### Обозначения

$v, w$  — абсолютная и относительная скорости;  $\omega$  — частота пульсаций;  $d_s, S_s, V_s$  — диаметр, площадь миделевого сечения и объем частицы;  $\rho$  — плотность;  $\tau$  — время;  $v^*$  — взвешивающая скорость. Индексы:  $a$  — амплитудное значение,  $s$  — твердая частица,  $0$  — начальное значение, штрих — пульсационное.

В работах [1-8], посвященных пульсационному движению одиночной частицы в турбулентном потоке, используется в качестве исходного уравнения

$$\rho_s V_s \frac{dw}{d\tau} = (\rho_s - \rho) V_s \frac{dv}{d\tau} + F_1 - F_2 \quad (1)$$

где  $F_1$  — результирующая внешних сил, действующих на частицу. Силу сопротивления движению частицы в жидкости  $F_2$  можно представить следующим образом:

$$F_2 = F_3 + F_4 + F_5 \quad (2)$$